

**MAPA GEOLOGICO DE ESPAÑA
INFORMACION COMPLEMENTARIA**

**RIBADEO
(10) (0903)**

FOTOGRAFIAS

1.976



INVINSA

-20010

HOJA 09-Q3

RIBADEO

INFORMACION COMPLEMENTARIA

ALBUM FOTOGRAFICO



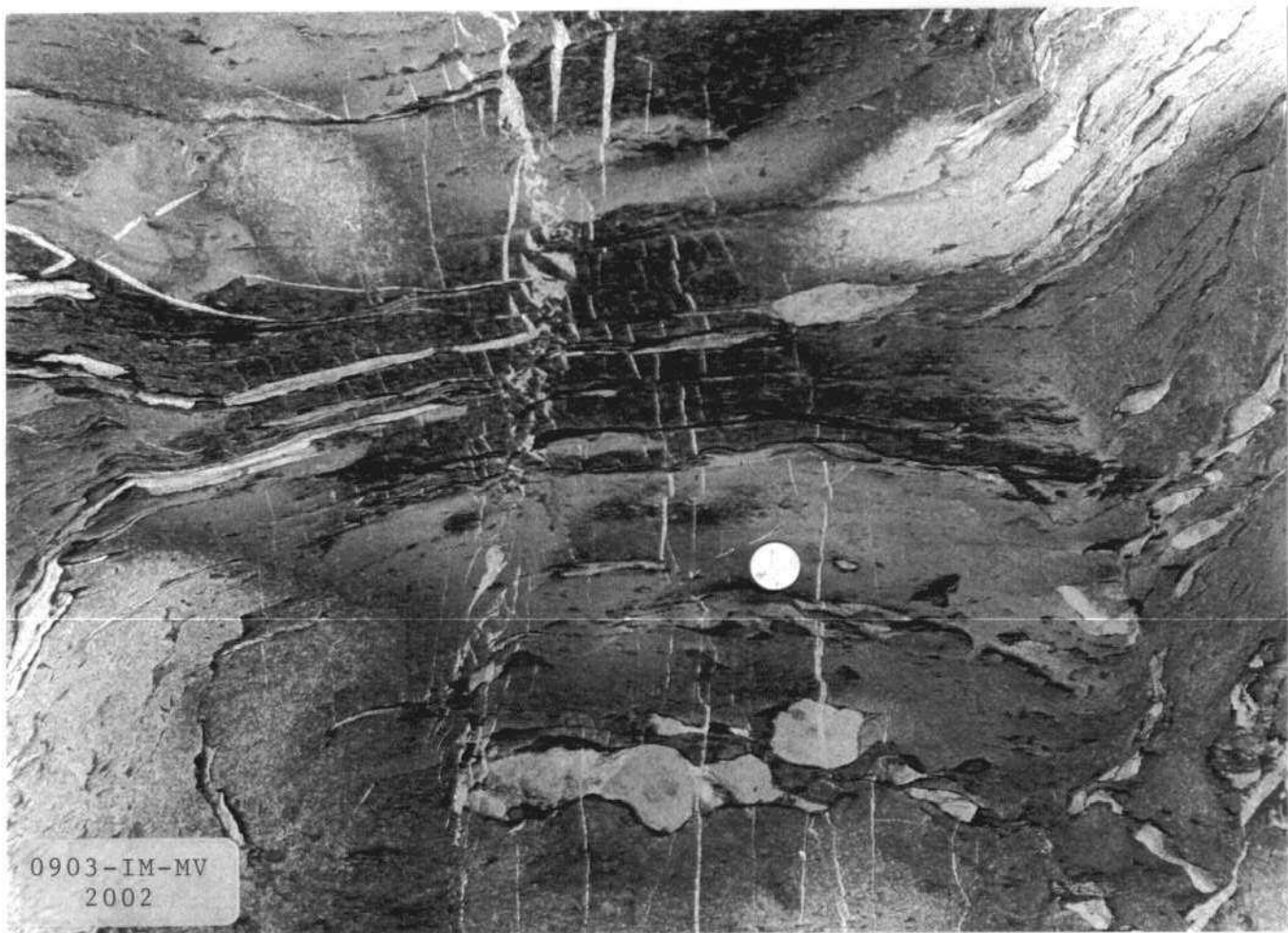
IMINSA



MV-2001. - Pliogue de tipo aproximadamente paralelo desarrollado en una capa de arenisca de la Serie de los Cabos. Obsérvese como la esquistosidad es en abanico divergente en el material incompetente situado en el arco externo de la zona de charnela. Ojas



IMINSA



MV-2002. - Fisuras rellenas de cuarzo y desplazadas por la esquistosidad cuyos planos han actuado como planos de cizalla con posterioridad a su formación. CA2



IMINSA



MV-2003. - Pequeña falla inversa desarrollada en la Serie de los Cabos en la que puede observarse el arrastre sufrido por algunas de las capas afectadas.
CA₂-O_{1p}



IMINSA



MV-2004. - Pliegue afectado por una marcada esquistosidad de flujo paralela al plano axial, observándose una fuerte disolución por presión. Serie de los Cabos CA₁-O₁p



IMINSA



0903-IM-MV
2005

MV-2005. - Anticinal desarrollado en la Serie de los Cabos.
En el material incompetente del núcleo del pliegue
se observa la esquistosidad de plano axial. La
estructura corresponde a la primera fase de la de-
formación. CA₁-O₁p



0903-IM-MV
2006 y 2007

MV-2006 y 2007.- Pliegues de la primera fase desarrollados cerca de Tapia de Casariego en la Serie de los Cabos. CA₁-O₁P

IMNSA





IMINSA

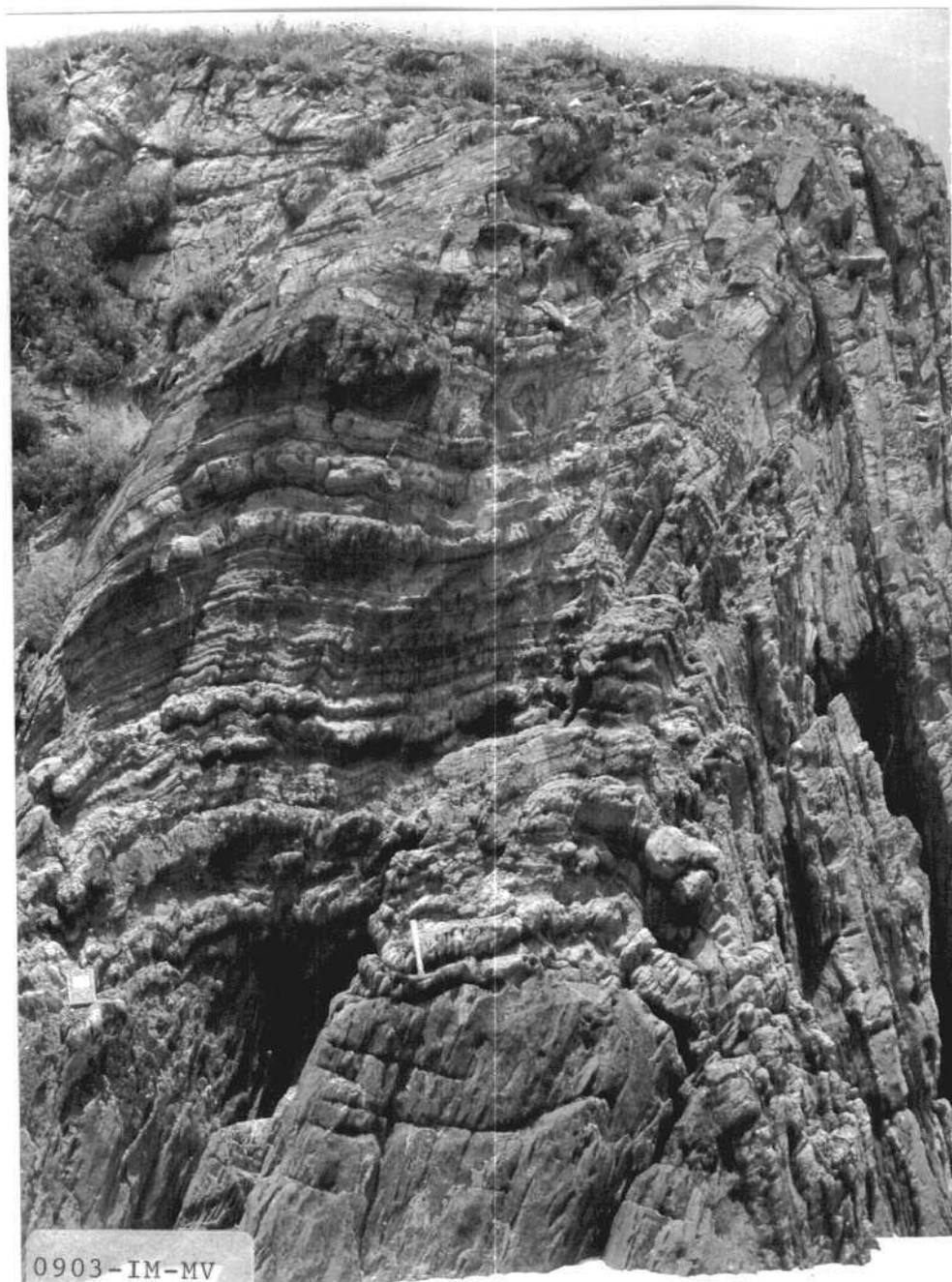


0903-IM-MV
2008

MV-2008.- Sinclinal desarrollado en una alternancia de areniscas y pelitas de la Serie de los Cabos y correspondiente a la primera fase de la deformación. CA1-01p

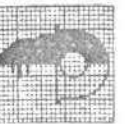


IMINSA

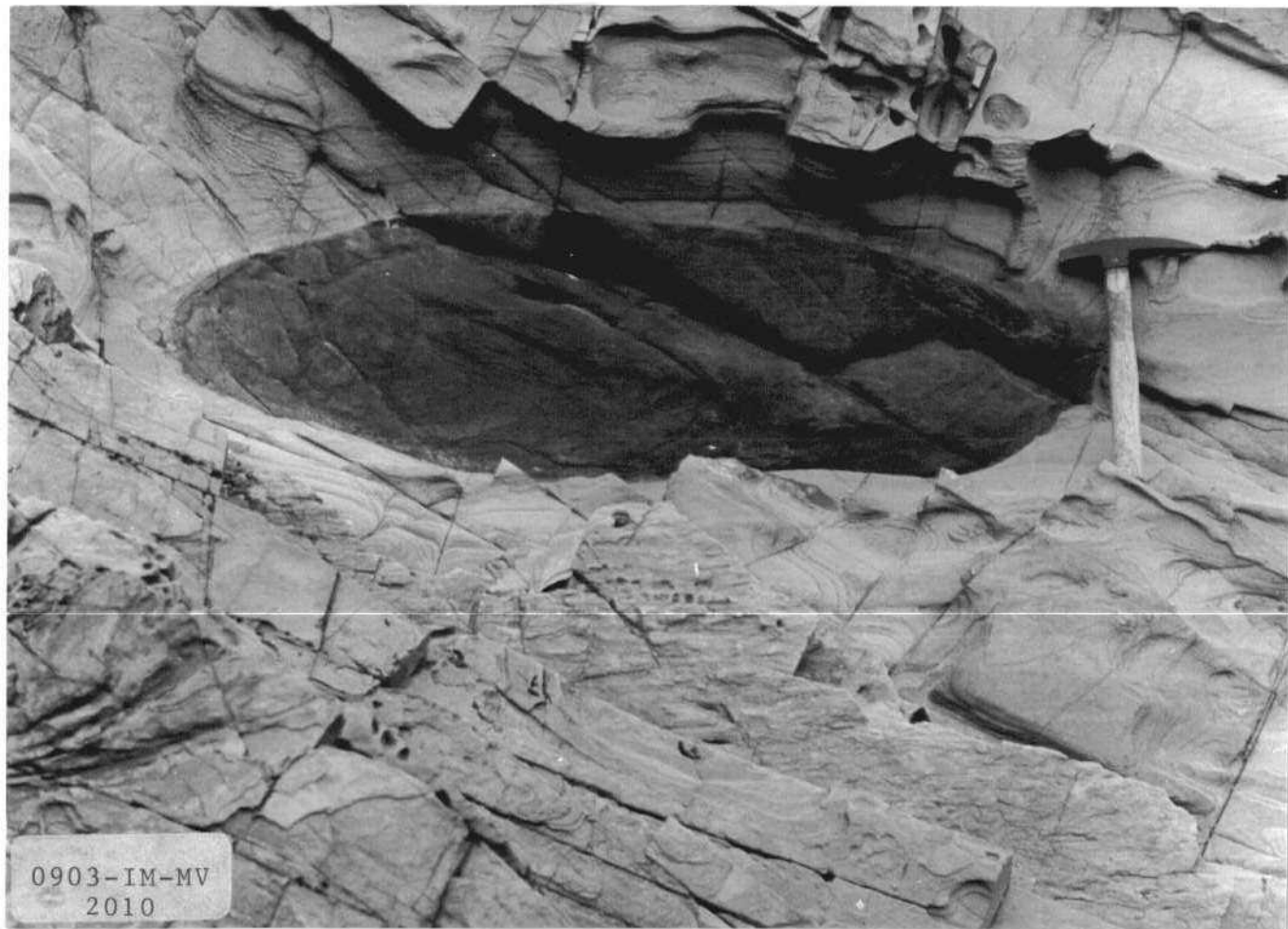


0903 - IM - MV
2009

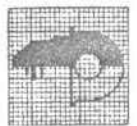
MV-2009.- Anticlinal desarrollado durante la primera fase de la deformación en la Serie de los Cabos. En el núcleo se observa una esquistosidad de flujo de plano axial. CA1-01p



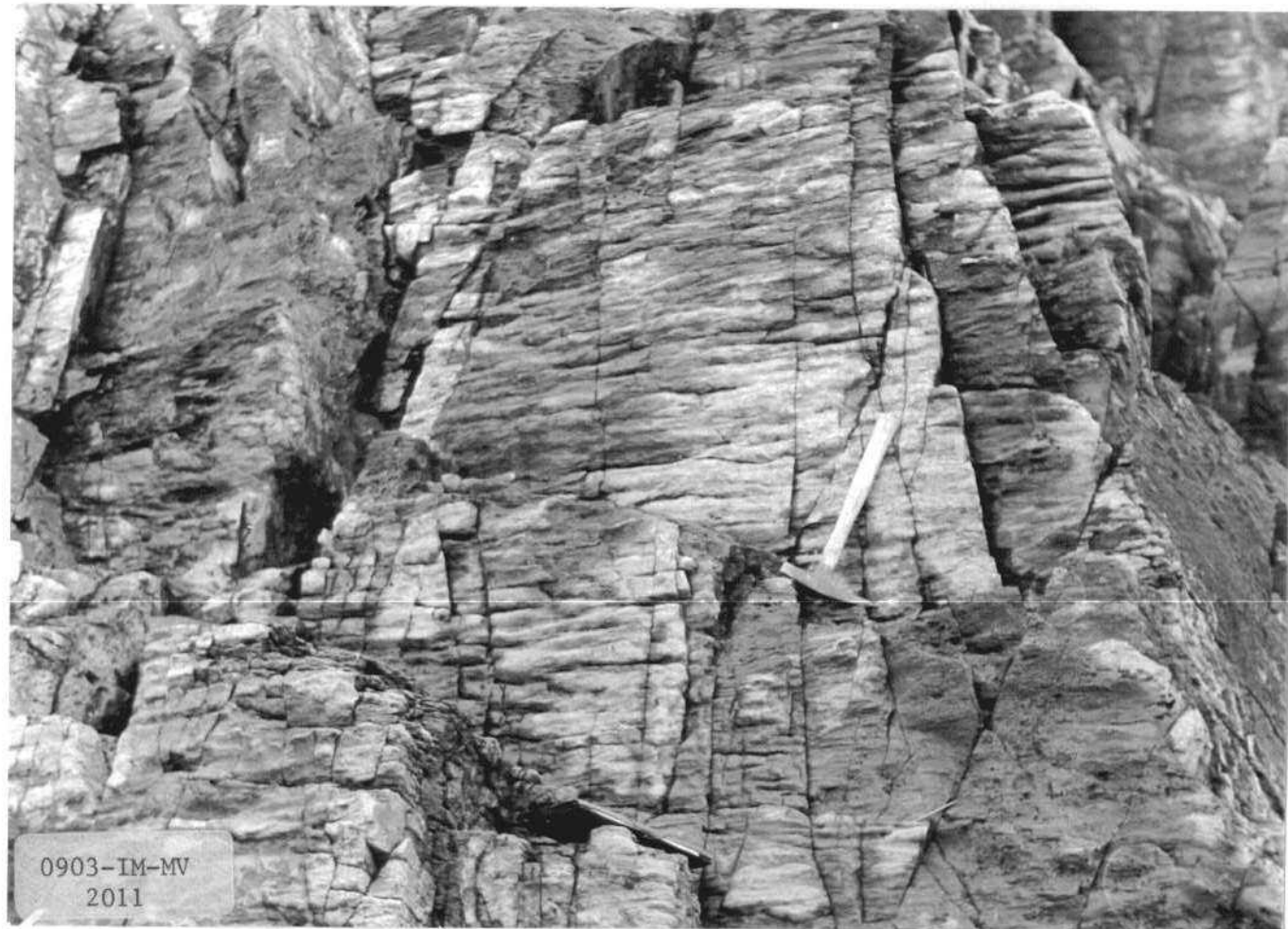
IMINSA



MV-2010. - Gran mancha de reducción desarrollada en la Serie de los Cabos
y que indica la deformación final sufrida por la roca.
CA1-01p



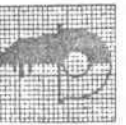
IMINSA



MV-2011. - "Ripple marks" de origen tectónico que definen una lineación paralela a la lineación de intersección. Serie de los Cabos.
CA₁-O₁p



MV-2012. - Manchas de reducción indicadoras de la deformación sufrida
por la roca. Serie de los Cabos. CA1-O1p



IMINSA



IMINSA



MV-2013. - Pliegue tipo "chevron" desarrollado en la Serie de los Cabos durante la primera fase de la deformación. En la charnela aparece un hueco relleno por material incompetente. CA1-O1p



IMINSA



0903-IM-MV
2014

MV-2014. - Plegues desarrollados durante la primera fase de la deformación.
Serie de los Cabos. CA1-01p



IMINSA

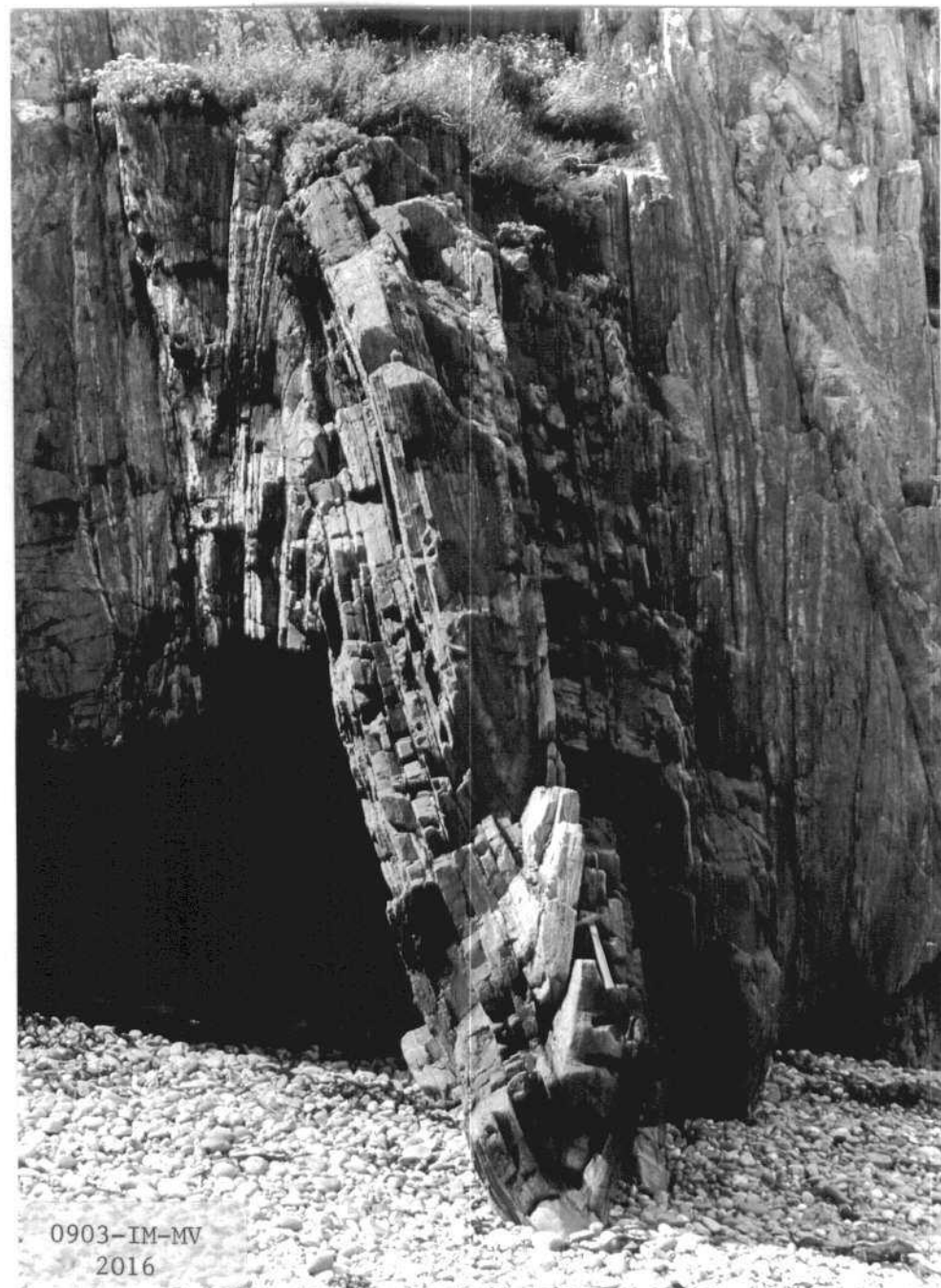


0903-IM-MV
2015

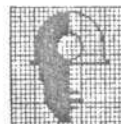
MV-2015. - Pliegue anticlinal tipo "chevron" desarrollado
durante la primera fase de la deformación.
Serie de los Cabos. CA₁-O₁p



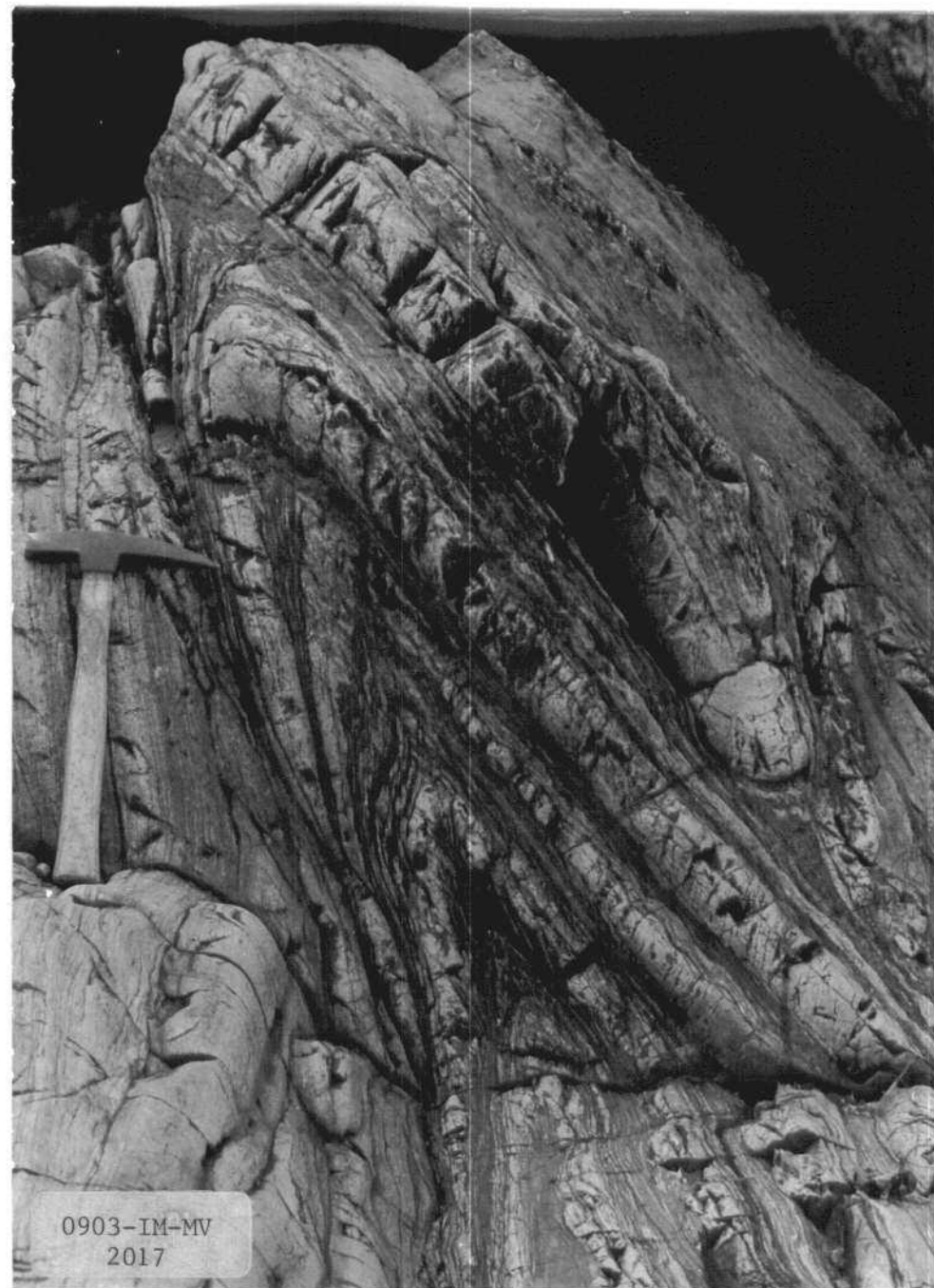
IMINSA



MV-2016. - Anticinal y sinclinal de charnelas agudas y muy apretados desarrollados en la Serie de los Cabos durante la primera fase de la deformación.
CA₁-O₁p



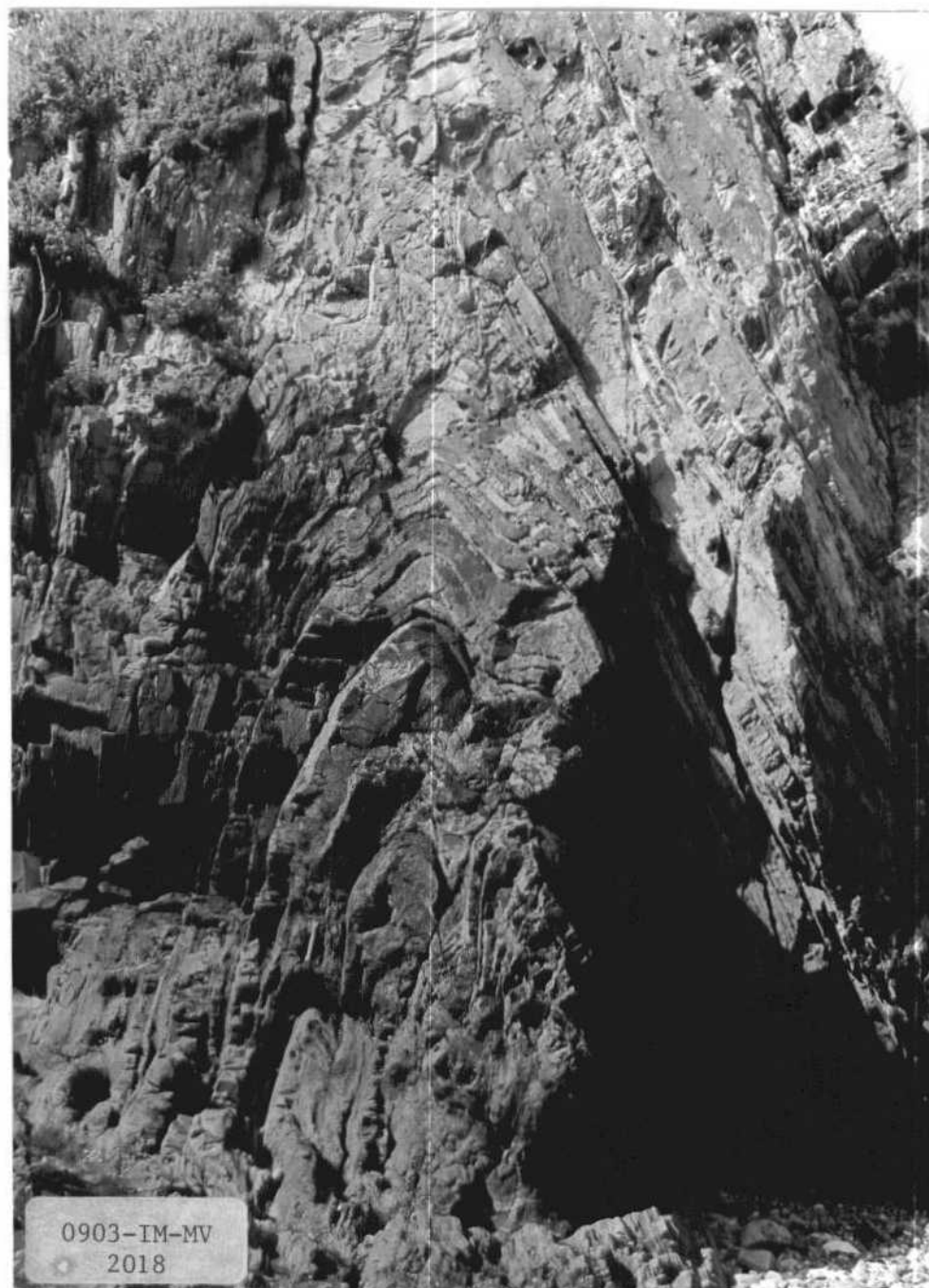
IMINSA



MV-2017. - Anticlinal tipo "chevron" correspondiente a la primera fase de la deformación. Las capas competentes se encuentran afectadas en los flancos por un proceso de "boudinage". Serie de los Cabos. CA₁-O₁p



IMINSA



MV-2018. - Anticlinal desarrollado durante la primera fase de la deformación. En él se observan algunos pliegues parásitos. Serie de los Cabos. CA₁-O₁P



IMINSA

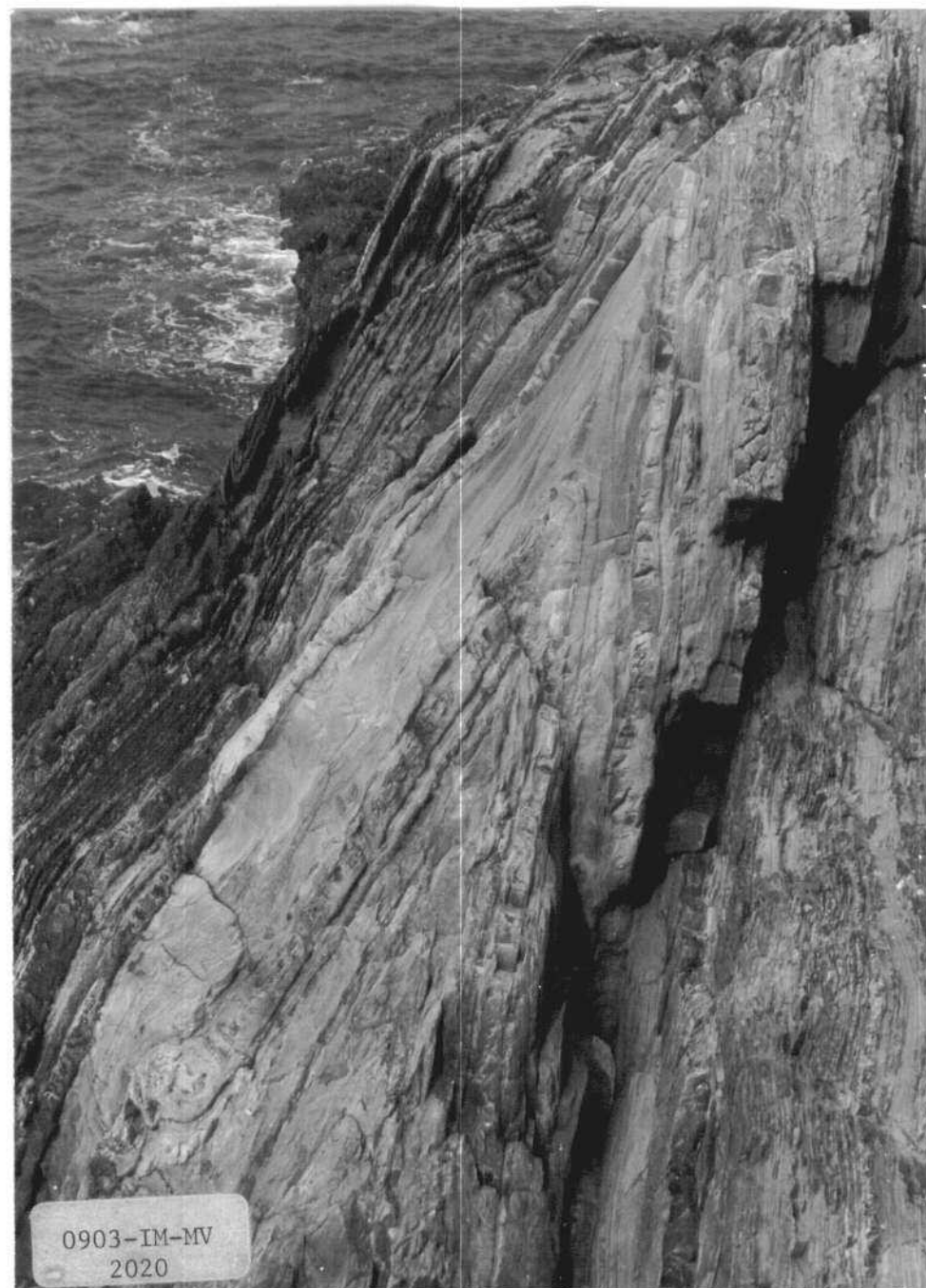


MV-2019. - Esquistosidad de fractura en abanico convergente desarrollada en un pliegue de la primera fase de la deformación. Serie de los Cabos. CA1-01p



IMINSA

Investigación - Desarrollo - Producción



MV-2020. - "Chevron fold" fuertemente aplastado desarrollado durante la primera fase de la deformación en la Serie de los Cabos. CA₁-O₁P



IMINSA

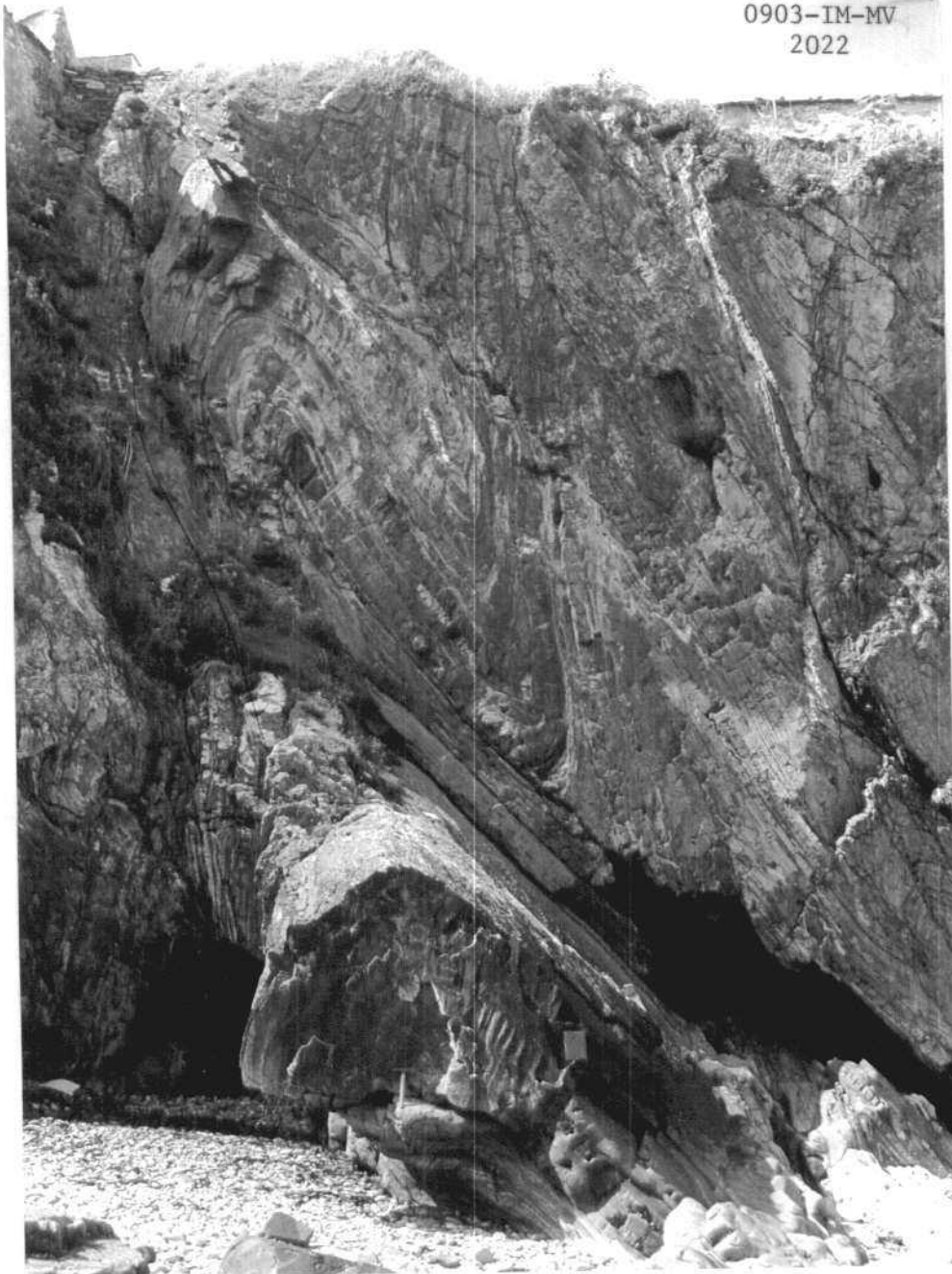


MV-2021. - Pliegues desarrollados durante la primera fase de la deformación y afectados por una marcada esquistosidad de fractura en abanico convergente. Serie de los Cabos. CA₁-O_{1p}

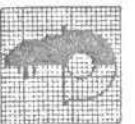


IMINSA

0903-IM-MV
2022



MV-2022. - Pliegue desarrollado en la Serie de los Cabos durante la primera fase de la deformación. Puede observarse en él una estructura de acomodación del tipo de charnela colapsada. CA1-01p



MV-2023. - Pliegues existentes en Tapia de Casariego y correspondientes
a la primera fase de la deformación. Serie de los Cabos.
CA₁-O₁p



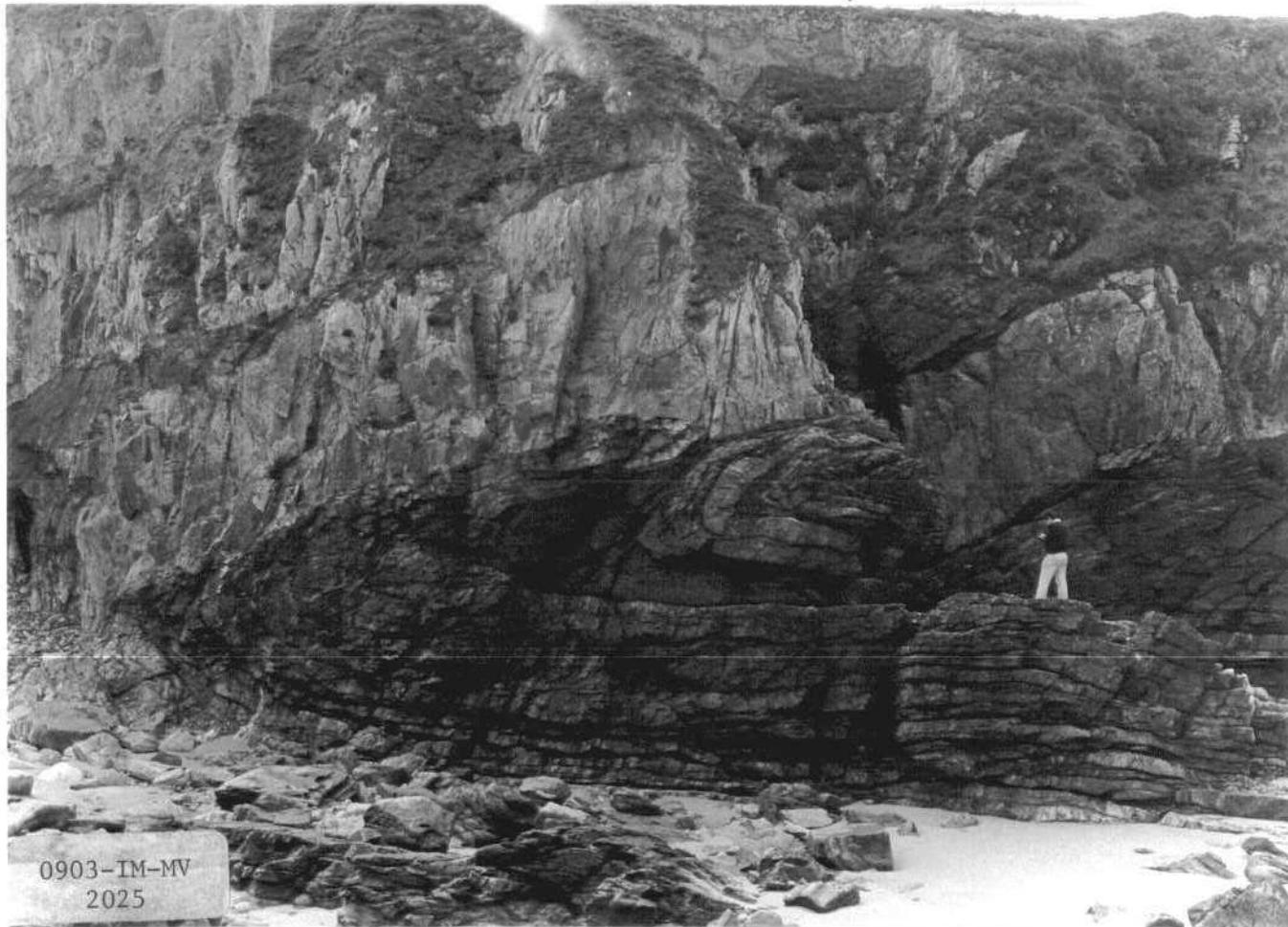
IMINSA



MV- 2024. - Pliegue tumabado desarrollado en la Formación Cándana durante la primera fase de la deformación. En él pueden observarse algunos pliegues parásitos. CA1



IMINSA



MV-2025. - Pliegue tumbado desarrollado en la formación Cándana durante la primera fase de la formación. La estructura se encuentra cortada por un dique felsítico. CA₁

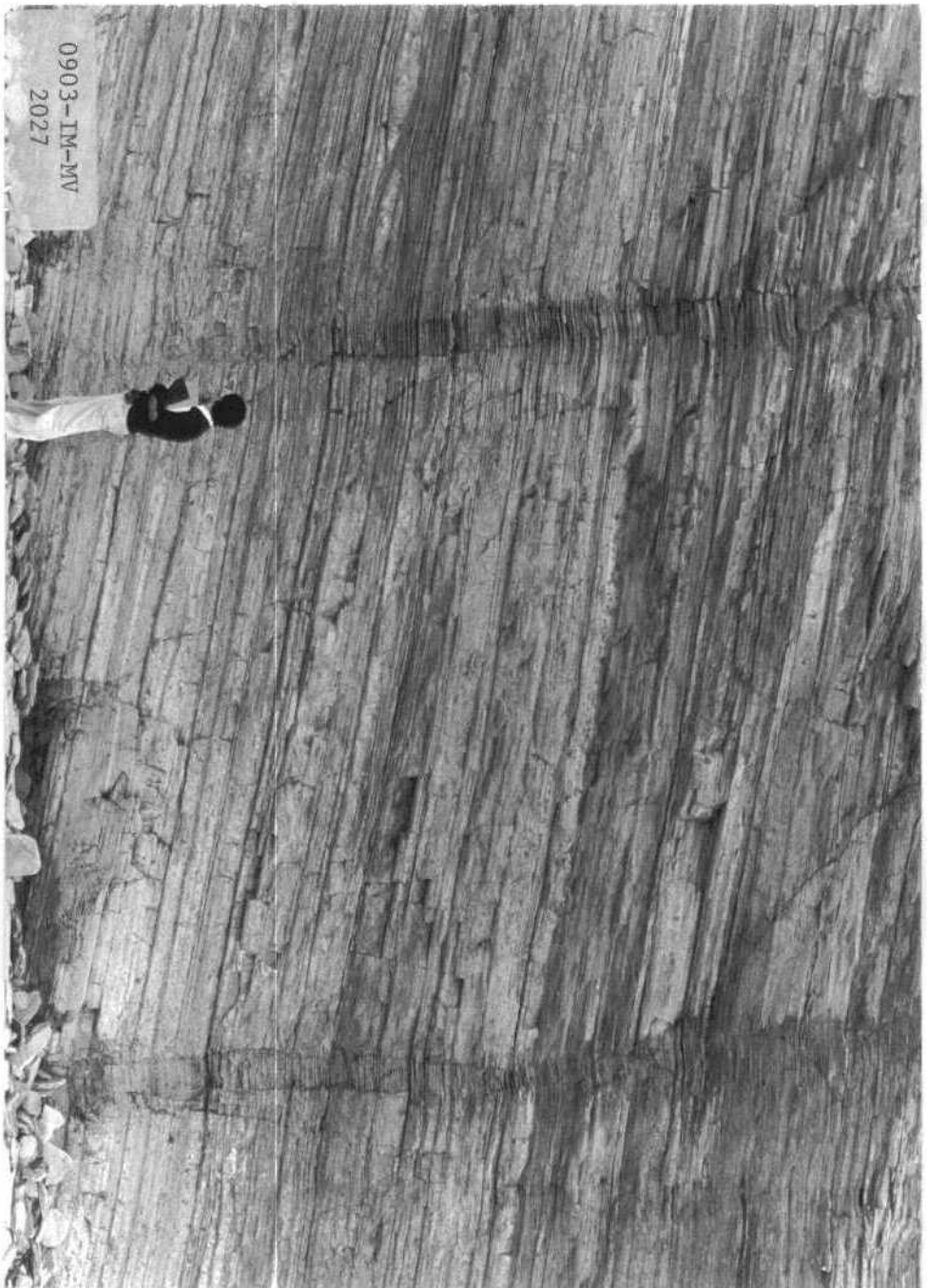


IMINSA



0903-IM-MV
2026

MV-2026. - Falla desarrollada en la Serie de los Cabos. En ella se observa una zona de falla fuertemente triturada. CA₂O1P



0903-IM-MV
2027

MV-2027. - "Kink bands" inversos desarrollados en la Serie de los Cabos.
CA2-O1p

IMINSA



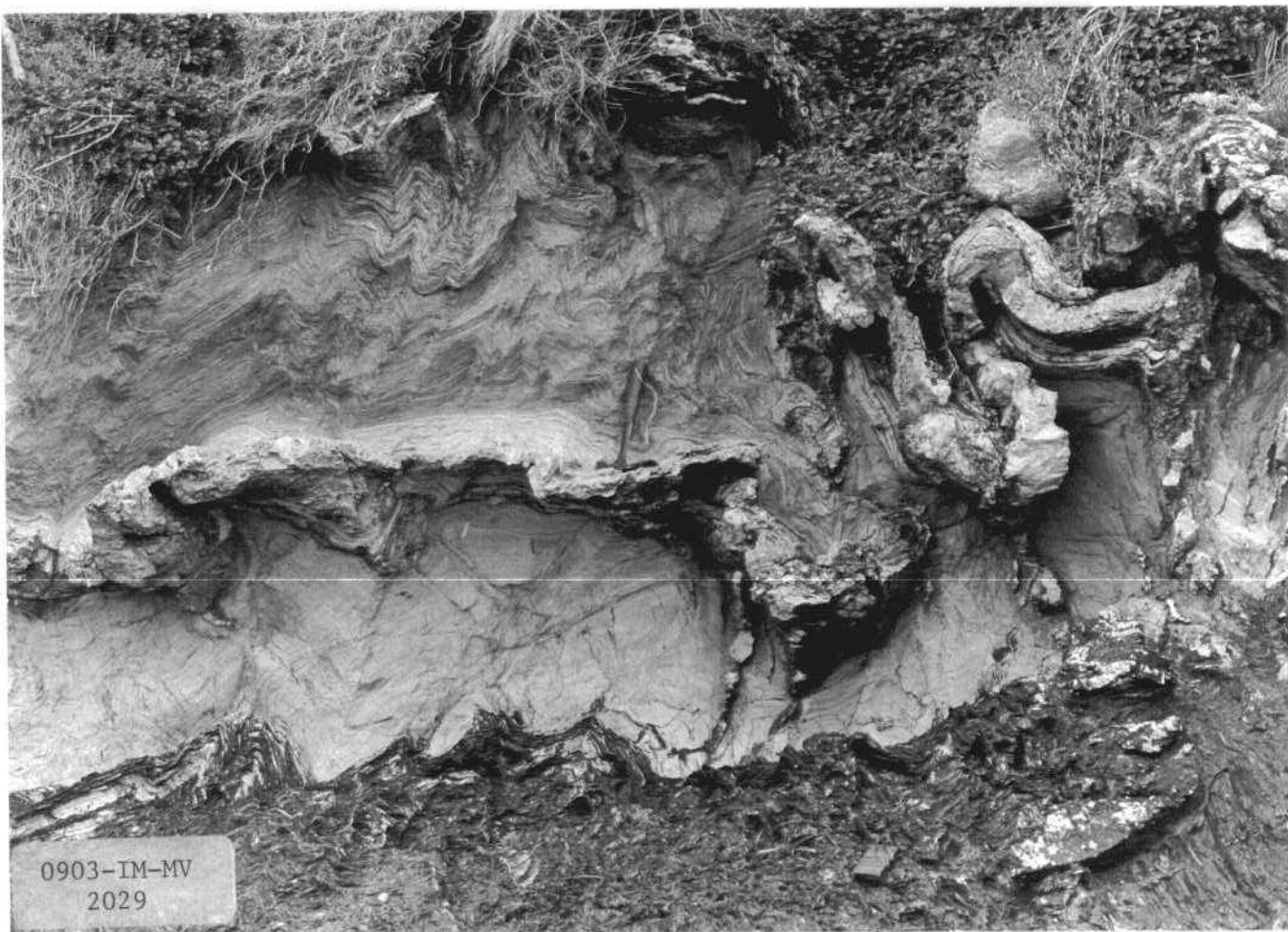


MV-2028. - "Kink bands" normales desarrollados en la Serie de los Cabos.
A ellos se encuentran asociados grietas de tensión CA_2-Oip

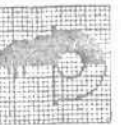




IMINSA



MV-2029. - Plegamiento de una capa calcárea aislada en un medio pelítico
menos competente. Tercera fase de la deformación. CA₂



IMINSA



MV-2030. - Aspecto de la Formación Agueira en la Punta del Atalaya de Porcía.
A la izquierda se observa la cuarcita masiva intercalada en dicha
formación. O₂₋₃



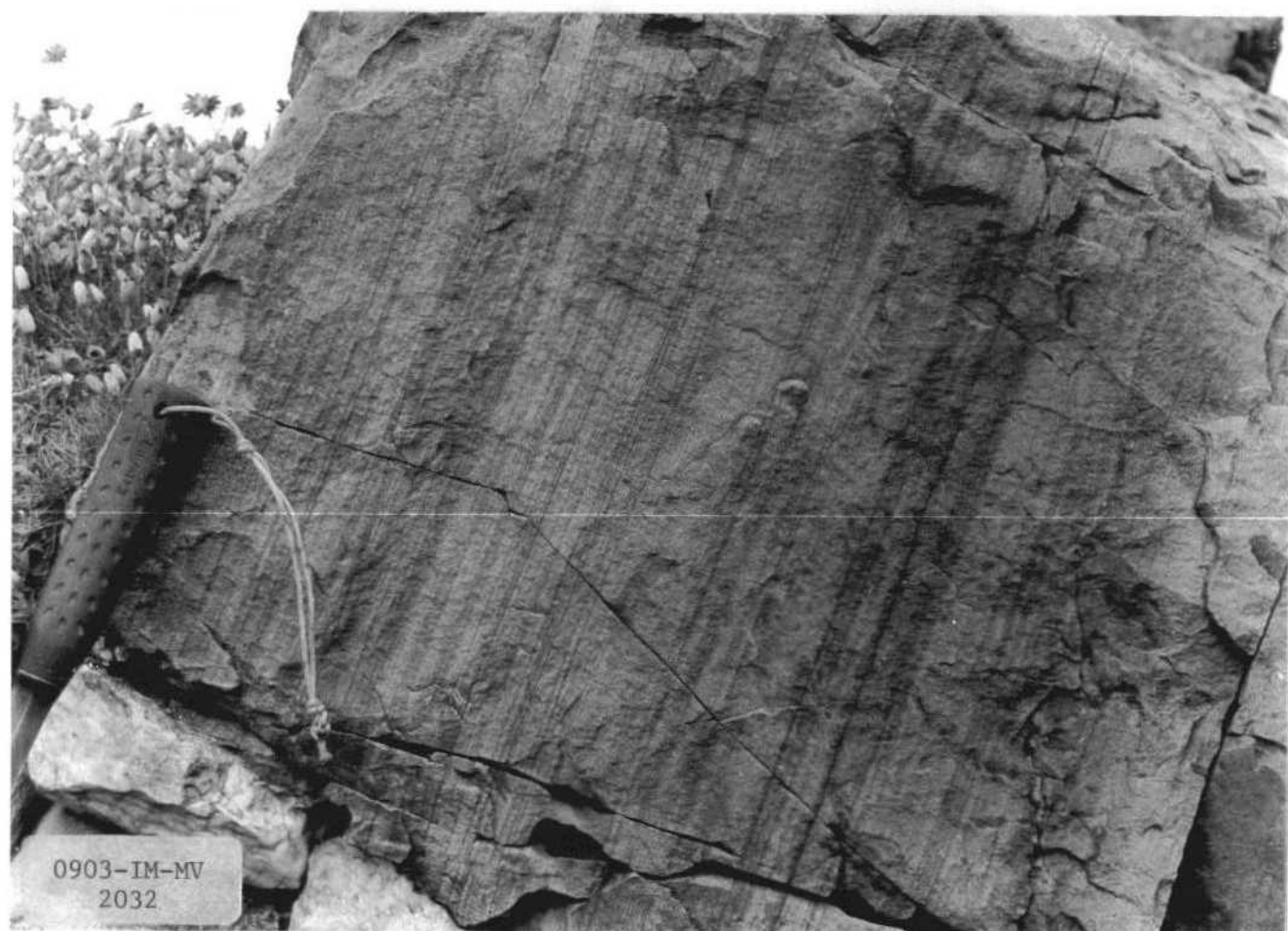
IMINSA



MV-2031. - Detalle de la estratificación en la Formación Agueira. Puede observarse el carácter proximal de la turbidita en esta zona. Punta del Atalaya de Porcia. 02-3



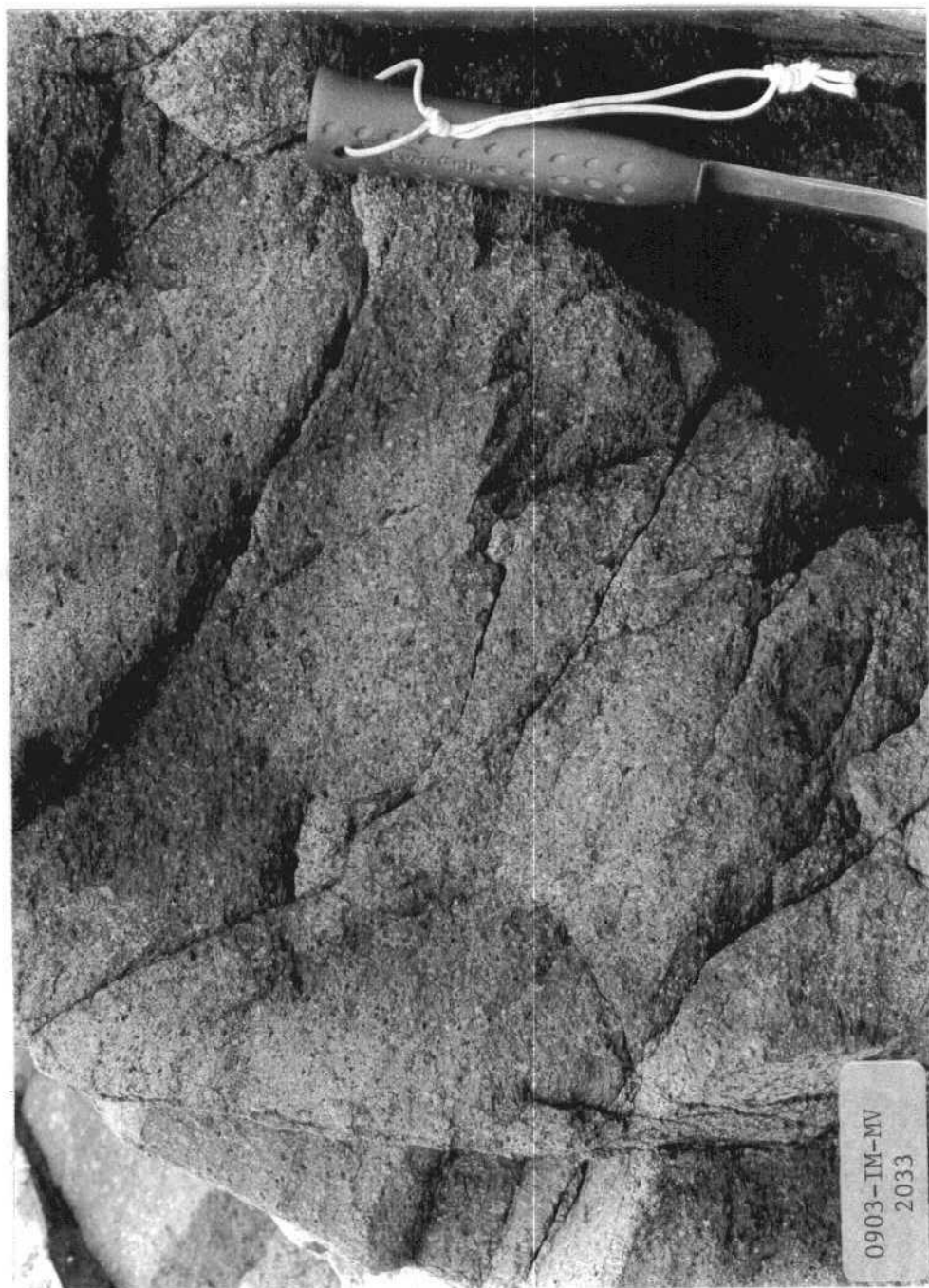
IMINSA



MV-2032. ~ Laminación paralela en la Formación Agueira. Punta del Atalaya
de Porcía. O₂₋₃



IMINSA



MV-2033. - Aspecto de la cuarzo-diorita de Salave. En la textura destacan los cristales de feldespato. $\Theta_H - \eta q - \gamma \eta$

MV-2034. - Filón de granodiorita intruido en el gabro de Salave.
Θ_H-ηq-γη



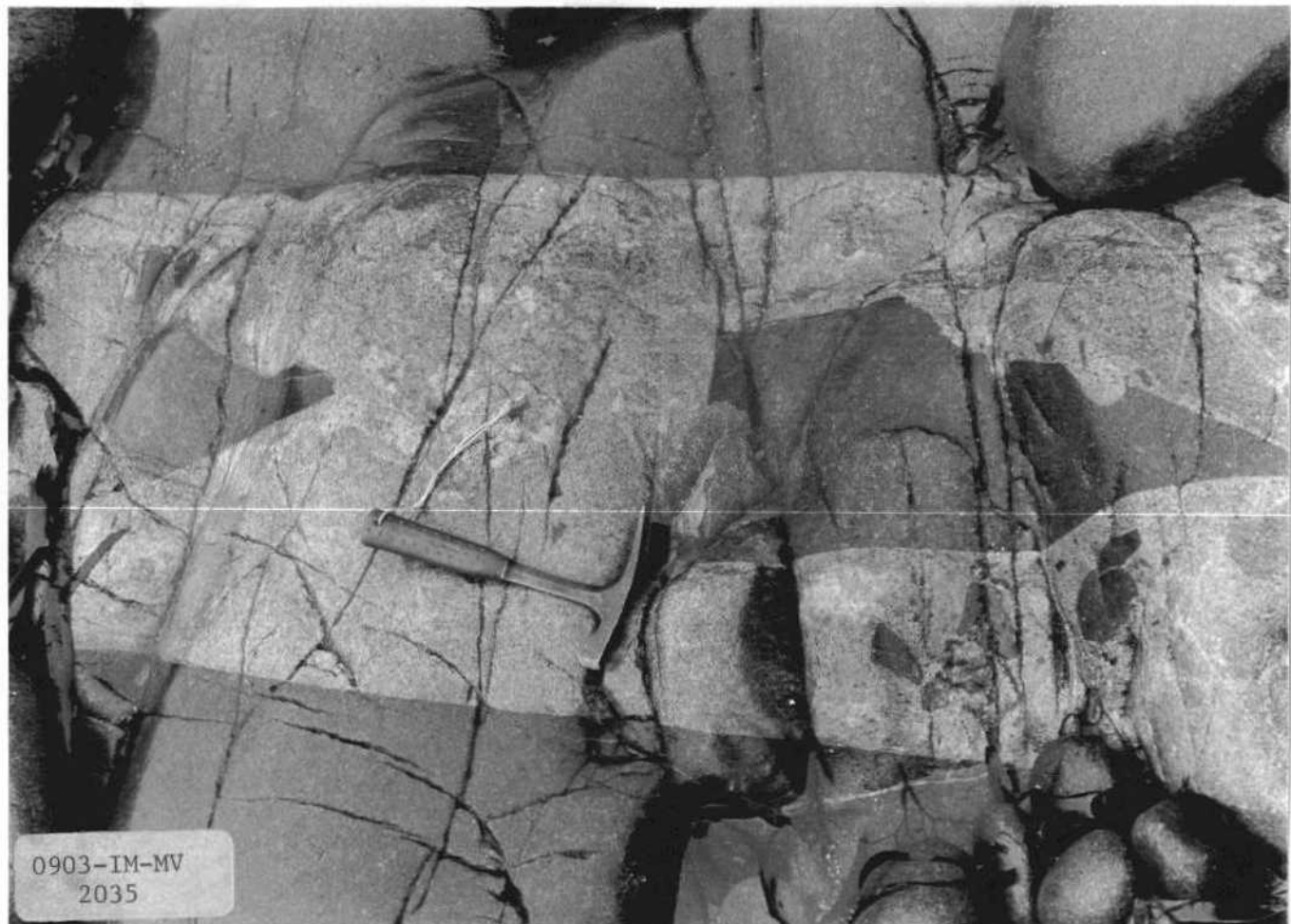
0903-IM-MV
2034

IMINSA





IMINSA

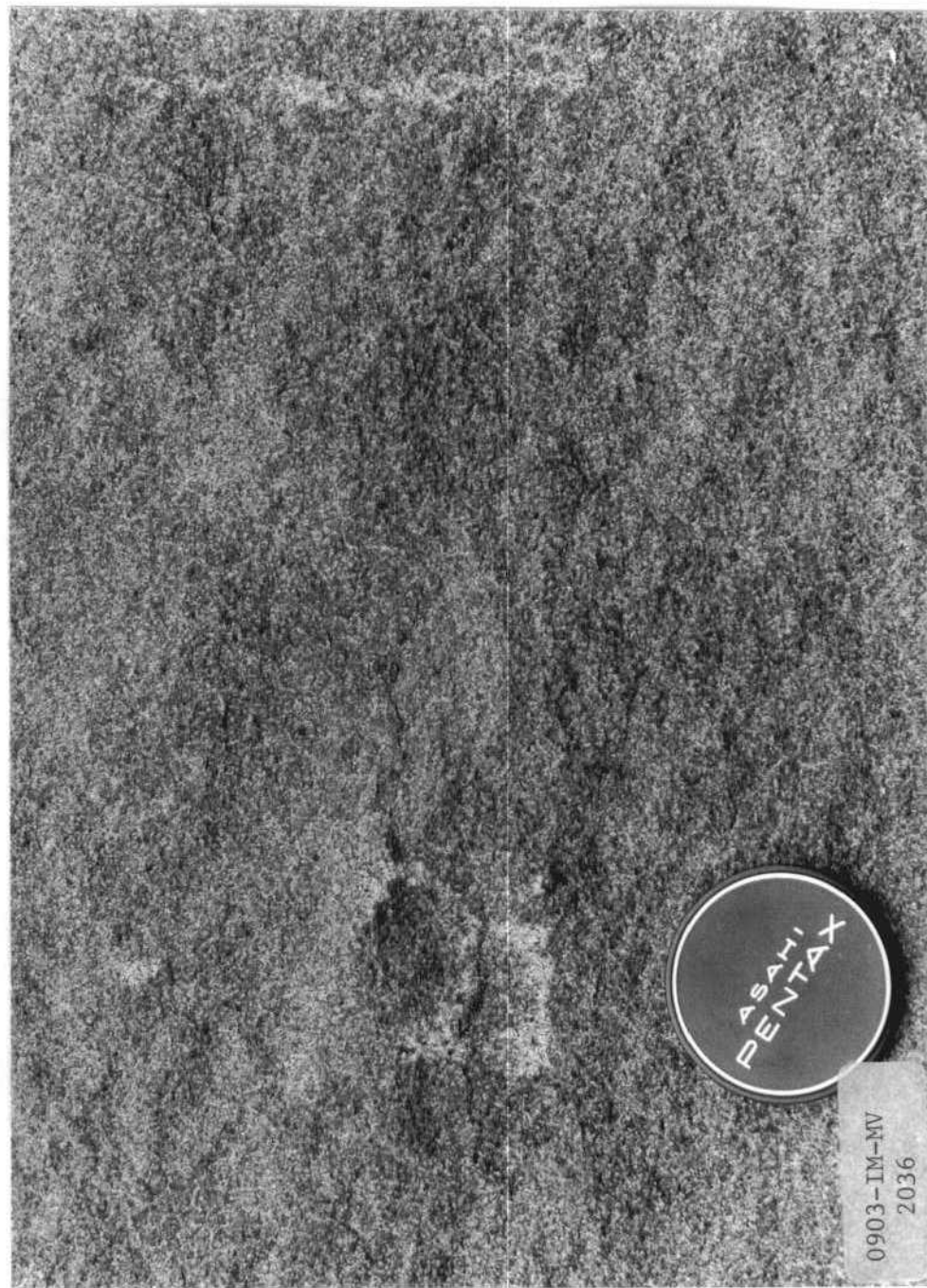


0903-IM-MV
2035

MV-2035. - Detalle de un filón de granodiorita intruido en el gabro de Salave.
En el filón se observan enclaves del gabro. Θ_H -ηq-γη



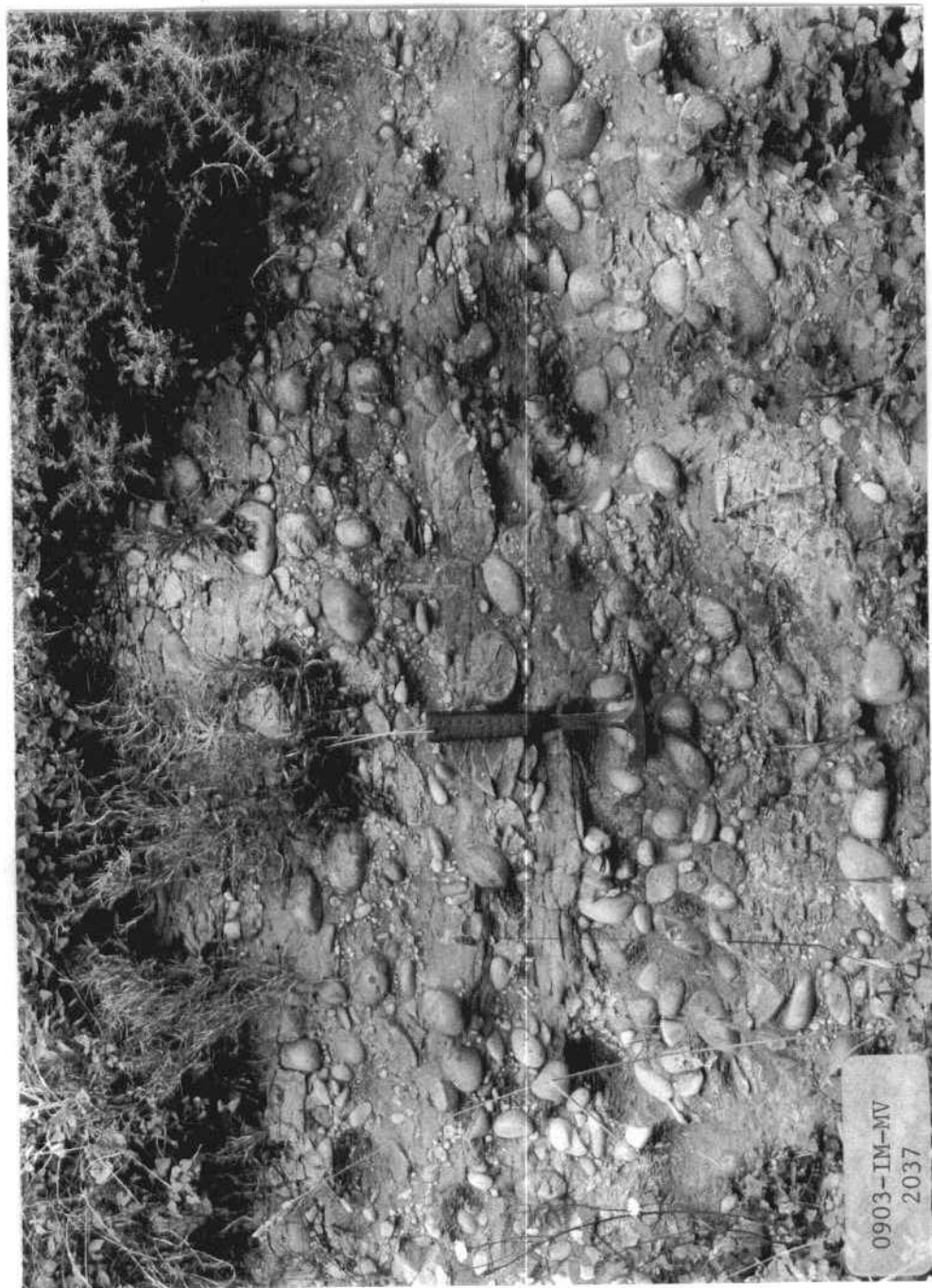
IMINSA



MV-2036. - Cuarzo-diorita de Salave mostrando una textura homogénea de
grano medio a fino. $O_{H^{-}nq-y}$



IMINSA



MV-2037. - Depósito cuaternario de cantes englobados en una matriz arenosa perteneciente a la rasa, próximo a Salave. QR_m



IMINSA



MV-2038. - Contacto de las areniscas de la Serie de los Cabos con la brecha producida por la intrusión de cuarzo-dioritas en la Playa de Represas (Tapia de Casariego)
CA₂-O₁p



IMINSA



0903-IM-MV
2039

MV-2039. - Aspecto de la rasa cantábrica en los alrededores de Barres. Se observa una parte inferior predominantemente arenosa y una superior formada por un depósito de cantos englobados en una matriz arcilloso-arenosa. En el contacto se destaca la existencia de varios paleocanales. QR_m

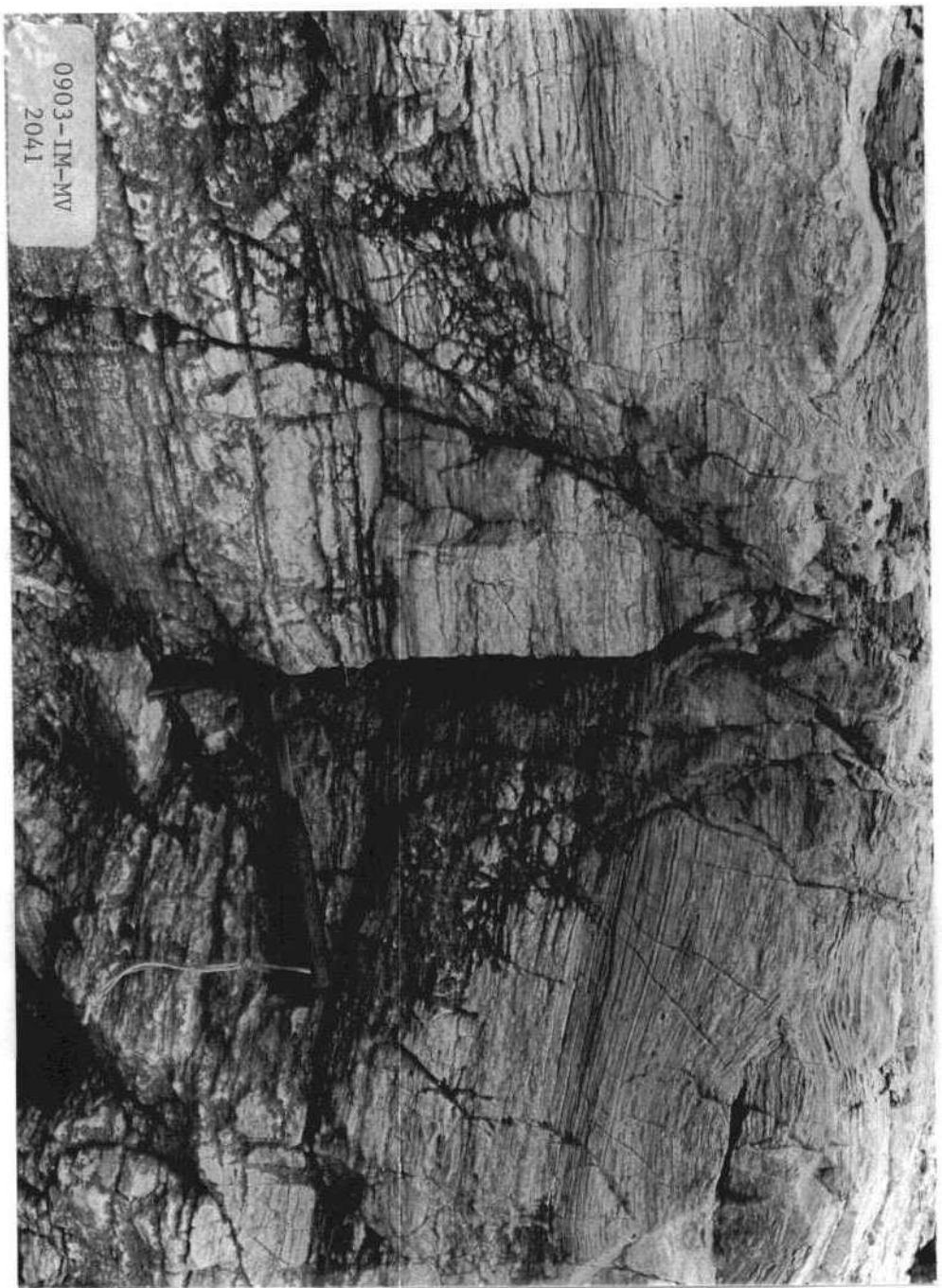


IMINSA



MV-2040. ~ Aspecto de la rasa cantábrica en los alrededores de Barres. Se observa una parte inferior predominantemente arenosa y una superior formada por un depósito de cantos englobados en una matriz arcilloso-arenosa. En el contacto se destaca la existencia de varios paleocanales. QR_m

MV-2041. ~ Aspecto de la Caliza de Vegadeo en la Playa de Penarronda.
CA
₁₋₂





IMINSA



MV-2042. - Aspecto del Estefaniense en la Punta del Cuerno. Entre los conglomerados se intercalan algunas capas predominantemente arenosas. $H_{33}^B - H_{34}^B$



IMINSA



MV-2043. - Detalle de los conglomerados estefanienses de la Punta del Cuerno. La proporción de cantes es mucho mayor que la de matriz. Obsérvese el carácter heterométrico y poligénico del conglomerado. $H_B_{33}-H_B_{34}$



IMINSA



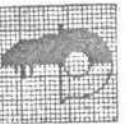
0903-TM-MV
2044

MV-2044. - Otro aspecto de los depósitos estefanienses de la Punta del Cuerno. H^B 33 - H^B 34



0903-IM-MV
2045

MV-2045. - Aspecto de la plataforma de abrasión marina en los alrededores de Villadín. Fotografía tomada hacia el SE. QR_s



IMINSA



IMINSA



My = 2046. ~ Canales meandiformes excavados en los depósitos cuaternarios
de la ría de Eo. QM

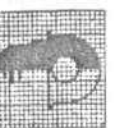


IMINSA



0903-IM-MV
2047

MV-2047. - Canales meandiformes excavados en los depósitos cuaternarios
de la ría de Eo. QM

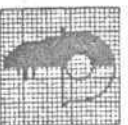


IMINSA



0903-IM-MV
2048

MV-2043. - Aspecto de la llanura costera (rasa cantábrica) en los alrededores
de Tol. $QR_c + QR_s$



IMINSA



0903-IM-MV
2049

MV-2049. - Aspecto de la llanura costera (rasa cantábrica) en los alrededores de Tol. $QR_c + QR_s$



IMINSA



0903-IM-MV
2050

MV-2050. - Antiguo horno alto situado al SE de Tol.



IMINSA



My-2051. ~ Aspecto que ofrece la cuarcita masiva existente en la parte superior de la serie de los Cabos. SE de Cinge. Oias



IMINSA



0903-TM-MV
2052

MV-2052. - Detalle de las Pizarras de Luarca en el Sinclinal de Villaodriz
(extremo occidental de la hoja). O₂



IMINSA



MV-2053. - Vista panorámica de la rasa cantábrica desde las inmediaciones
de Debesa. $QR_c + QR_s$



IMINSA



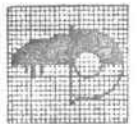
MV-2054. - Vista panorámica de la cuarcita culminante de la Serie de los Cabos desde Noceda, OI



MV-2055. - Pizarras verdes del Cámbrico medio (parte inferior de la Serie de los Cabos) al E de Castropol. CA₂

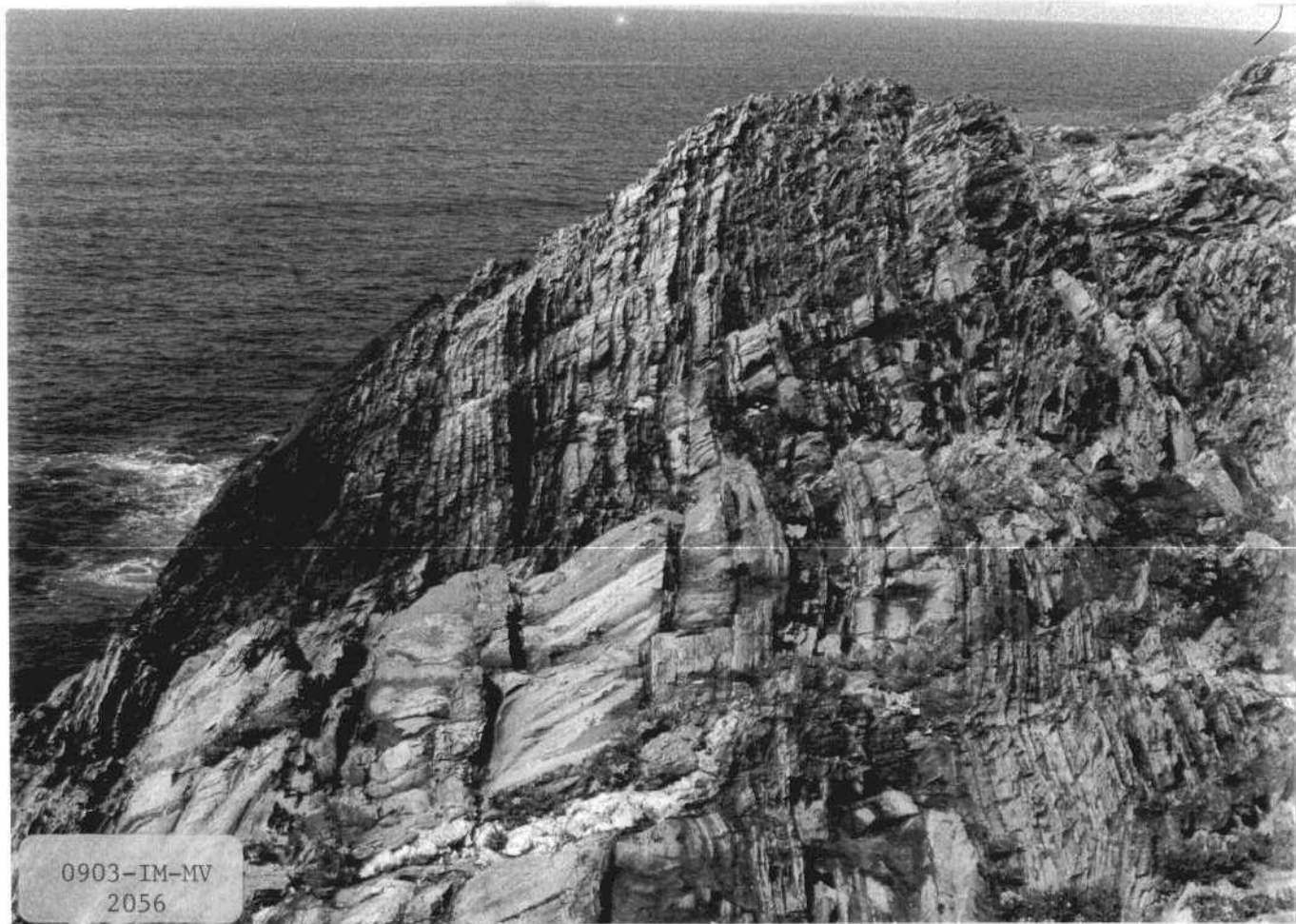


IMINSA



IMINSA

-203010



MV-2056. - Tramo predominante arenoso de la Serie de los Cabos al SE
de Tapa de Casariego. CA₂- O_{1p}